

Fluctuations électromagnétiques et modes propres d'un plasma à l'équilibre en régime relativiste

Workshop PNHE : accélération de particules

Charles Ruyer, Laurent Gremillet, Didier Bénisti, Guy Bonnaud

CEA, DAM, DIF
F-91297 Arpajon

Octobre 5, 2012



- Le spectre des fluctuations électromagnétiques d'un plasma à l'équilibre a été peu étudié en régime relativiste.

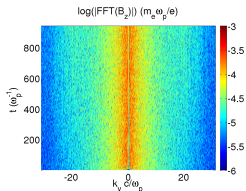


FIGURE: Simulation PIC 1DX 3DV : $B_z^2(k, t)$
(Maxwell-Jüttner : $T = 51.1\text{keV}$, $\beta_d = 0.9c$, $e^- e^+$,
 $\Delta x = \Delta y = 0.1c/\omega_0$)

- Ces fluctuations représentent les germes des instabilités électromagnétiques. Elles sont donc essentielles pour l'étude de son évolution.

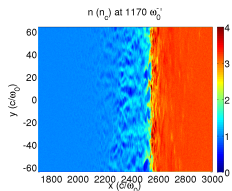
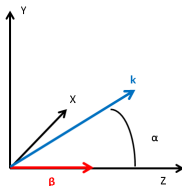


FIGURE: Choc non-collisionnel symétrique d' $e^- e^+$
(Maxwell-Jüttner $T = 5.11\text{keV}$, $\beta_d = 0.9c$,
 $\Delta x = \Delta y = 0.2c/\omega_0$, $\theta = 0.05$)

- Plasma relativiste non-collisionnel de température T et vitesse moyenne $\beta_d = v_d/c$.
- Equilibre : distribution de Maxwell-Jüttner¹

$$f_s^{(0)}(\mathbf{p}) = \frac{\mu}{4\pi\gamma_d^2 K_2(\mu/\gamma_d)} \exp[-\mu(\gamma - \beta_d \cdot \mathbf{p})]$$
$$\mu = \frac{mc^2}{T}$$

- Dans le repère du laboratoire :



- Le tenseur ϵ :

$$\epsilon_{\sigma\tau}(\mathbf{k}, \omega) = \delta_{\sigma\tau} + \sum_s \frac{\omega_{ps}^2}{\omega^2} \iiint d^3p \left[\frac{p_\sigma}{\gamma} \frac{\partial f^{(0)}}{\partial p_\tau} + v_\sigma \frac{p_\tau}{\gamma} \frac{\mathbf{k} \cdot \frac{\partial f^{(0)}}{\partial \mathbf{p}}}{\omega - \mathbf{k} \cdot \mathbf{v}} \right],$$

1. Wright, Phys. Rev. A, 12 (1975)

- 1 Introduction
 - Contexte
 - Système et approximations

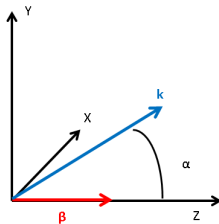
- 2 Fluctuations électrostatiques pour $\alpha = 0$
 - Formules utiles
 - Spectre en (\mathbf{k}, ω)
 - Spectre en k_z

- 3 Fluctuations magnétiques pour $\alpha = \pi/2$
 - Spectre en (\mathbf{k}, ω)
 - Spectre en k_y

- 4 Comparaison aux simulations PIC

- 5 Conclusion

Fluctuations électrostatiques pour $\alpha = 0$



- ϵ_{zz} devient :

$$\epsilon_{zz} = 1 - \sum_s \frac{2\pi F_s \mu_s \omega_{ps}^2}{k^2 c^2} (\beta_\phi - \beta_{ds}) \int_{-1}^1 \frac{f_{\bar{B}}}{\beta_\phi - \beta} d\beta + \sum_s \frac{\mu_s \omega_{ps}^2}{k^2 c^2}.$$

avec $\beta_\phi = \frac{\omega}{kc}$

- Les fluctuations électrostatiques sont, pour un plasma d'électrons-positrons² :

$$\langle E_z E_z^* \rangle_{\mathbf{k}, \omega} = \frac{\langle j_z j_z^* \rangle_{\mathbf{k}, \omega}}{\epsilon_0^2 \omega^2 |\epsilon_{zz}|^2} = \frac{-T}{\epsilon_0 (\omega - kv_d)} \text{Im} \frac{1}{\epsilon_{zz}}.$$

- La relation de dispersion électrostatique devient :

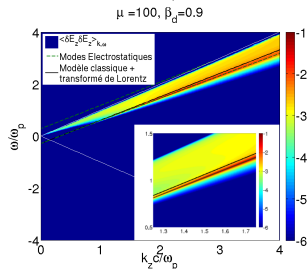
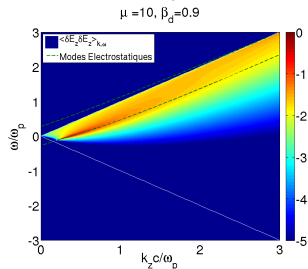
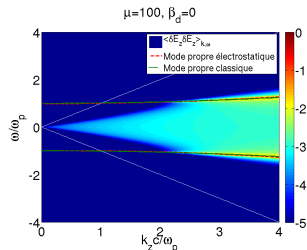
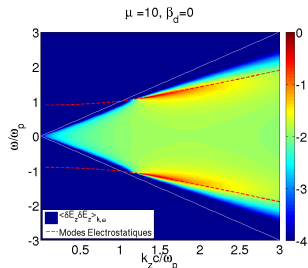
$$k^2 c^2 = \sum_s 2\pi F_s \mu_s \omega_{ps}^2 (\beta_\phi - \beta_{ds}) \int_{-1}^1 \frac{f_{\bar{B}}}{\beta_\phi - \beta} d\beta - \sum_s \mu_s \omega_{ps}^2.$$

- Si $|\beta_\phi| < 1 \Rightarrow \text{Im}(\epsilon_{zz}) \neq 0 \Rightarrow \langle E_z E_z^* \rangle_{\mathbf{k}, \omega} > 0$
- Si $|\beta_\phi| > 1 \Rightarrow \langle E_z E_z^* \rangle_{\mathbf{k}, \omega} = 0$ sauf pour $\epsilon_{zz} = 0 \Rightarrow$ Singularité !

2. Sitenko, *Fluctuations and Non-linear Wave Interactions in Plasmas*, (Pergamon Press, 1982)

Fluctuations électrostatiques pour $\alpha = 0$

Spectre (\mathbf{k}, ω) d' e^-e^+ , normalisé par $m_e^2 c^5 / e^2 \omega_e^2$



Fluctuations électrostatiques pour $\alpha = 0$

Intégration sur ω



- Intégration de $\langle E_z E_z^* \rangle_{\mathbf{k}, \omega}$ sur ω sur \mathbb{R} , cas e^{-e^+3} :

$$\langle E_z E_z^* \rangle_{\mathbf{k}} = \int_{-\infty}^{+\infty} \langle E_z E_z^* \rangle_{\mathbf{k}, \omega} \frac{d\omega}{2\pi}$$

$$\langle E_z E_z^* \rangle_{\mathbf{k}} = \int_{-\infty}^{+\infty} \frac{d\omega}{2\pi} \frac{-T}{\epsilon_0(\omega - kv_d)} \text{Im}\left(\frac{1}{\epsilon_{zz}}\right) = \int_{-\infty}^{+\infty} \frac{d\omega}{2\pi} \text{Im}[I(\omega, k)]$$

$$I(\omega, k) = \frac{-T}{\epsilon_0(\omega - kv_d)} \left(\frac{1}{\epsilon_{zz}} - 1\right),$$

avec

$$\begin{cases} \lim_{|\omega| \rightarrow +\infty} I(\omega, k) = 0 \\ \lim_{|\omega| \rightarrow +\infty} (\epsilon_{zz}^{-1} - 1) = 0 \end{cases}$$

Pas de pôles pour $\text{Im}(\omega) > 0$: plasma à l'équilibre

$$\sum_{i=1}^7 \text{Im} \int_{G_i} d\omega I(\omega, k) = 0.$$

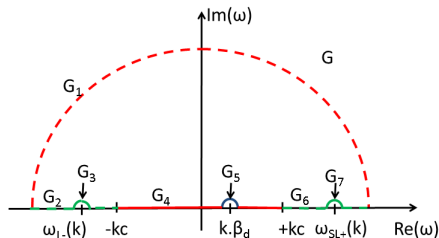


FIGURE: Contour d'intégration dans le plan ω complexe.

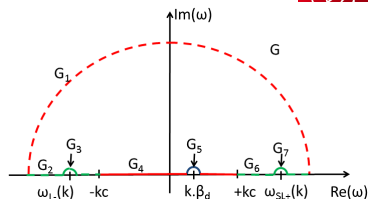
Fluctuations électrostatiques pour $\alpha = 0$

Spectre en k_z



Nous obtenons :

$$\begin{aligned} \langle E_z E_z^* \rangle_{\mathbf{k}} &= \langle E_z E_z^* \rangle_{\mathbf{k}}^{|\nu_\phi| < 1} + \langle E_z E_z^* \rangle_{\mathbf{k}}^{|\nu_\phi| > 1} \\ \langle E_z E_z^* \rangle_{\mathbf{k}} &= \pi \text{Res}(I)_{\omega = k\beta_d} \end{aligned}$$



- La contribution des pôles supraluminiques donne :

$$\epsilon_0 \langle E_z E_z^* \rangle_{\mathbf{k}}^{|\nu_\phi| > 1} = \sum_{\omega_{L\pm}^{|\nu_\phi| > 1}} \frac{T}{2\mu(\omega - k\beta_d)} \frac{1}{\frac{\partial \epsilon_{zz}}{\partial \omega} |_{\omega}}$$

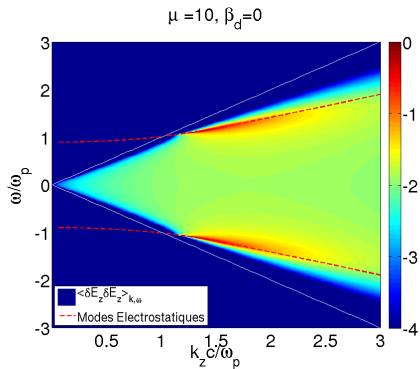
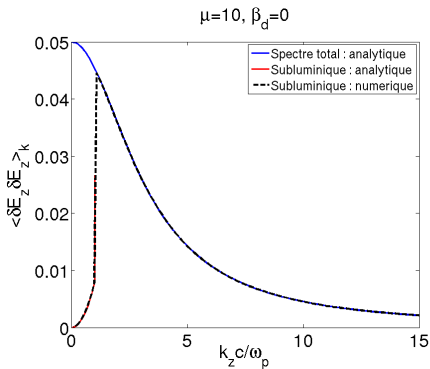
- Les fluctuations électrostatiques spatiales totales correspondent au pôle balistique :

$$\epsilon_0 \langle E_z E_z^* \rangle_{\mathbf{k}} = \pi \text{Res}(I)_{\omega = k\beta_d} = \frac{T}{2} \frac{\omega_p^2 \mu}{\omega_p^2 \mu + k^2 c^2}$$

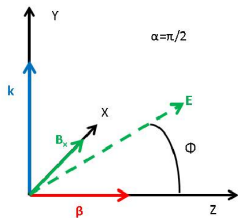
⇒ Le spectre des fluctuations longitudinales ne dépend pas de γ_d !

Fluctuations électrostatiques pour $\alpha = 0$

Intégration sur ω , $e^- e^+$, normalisé par $m_e^2 c^5 / e^2 \omega_e$



Fluctuations magnétiques pour $\alpha = \pi/2$



Fluctuations magnétiques pour $\alpha = \pi/2$

Relation de dispersion



Dans le cadre général, la relation de dispersion peut se mettre sous la forme :

$$k^4 c^4 (\beta_\phi^2 - 1) - k^2 c^2 \left[(\beta_\phi^2 - 1) \sum_s 2\pi F_s \mu_s \omega_{ps}^2 \frac{B_s(\beta_\phi)}{v_\phi} - \sum_s \mu_s \omega_{ps}^2 \beta_{ds}^2 + \sum_s 2\pi F_s \mu_s \omega_{ps}^2 v_\phi A_s(\beta_\phi) \right] + \sum_s 2\pi F_s \mu_s \omega_{ps}^2 \frac{B_s(\beta_\phi)}{v_\phi} \left(\sum_s 2\pi F_s \mu_s \omega_{ps}^2 v_\phi A_s(\beta_\phi) - \sum_s \mu_s \omega_{ps}^2 \beta_{ds}^2 \right) - \left(\sum_s 2\pi F_s \mu_s \omega_{ps}^2 C_s(\beta_\phi) \right)^2 = 0.$$

Nous avons ici des modes propres mixtes :

$$\frac{E_y}{E_z} = -\frac{\omega^2 \epsilon_{zz} - k^2 c^2}{\omega^2 \epsilon_{yz}} = -\frac{\omega^2 \epsilon_{yz}}{\omega^2 \epsilon_{yy}}.$$

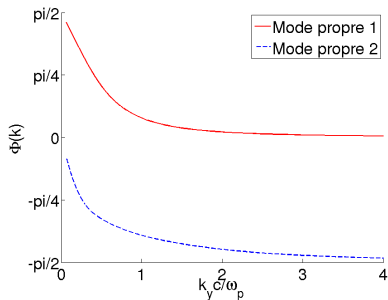
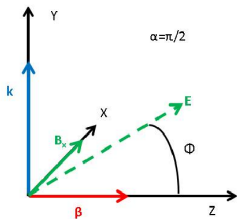


FIGURE: Angle $\Phi(k)$ entre \mathbf{E} et l'axe z pour les deux modes propres les moins amortis.

- Pour un plasma de paires e^-e^+ , nous pouvons écrire :

$$\langle B_x B_x^* \rangle_{\mathbf{k}, \omega} = \frac{-k^2 T}{\epsilon_0 \omega} \text{Im} \left(\frac{\epsilon_{yy}}{D} \right).$$

avec $D = (\omega^2 \epsilon_{zz} - k_y^2) \epsilon_{yy} - \omega^2 \epsilon_{yz}^2$.

- Le spectre en \mathbf{k} des fluctuations magnétiques correspond au pôle balistique :

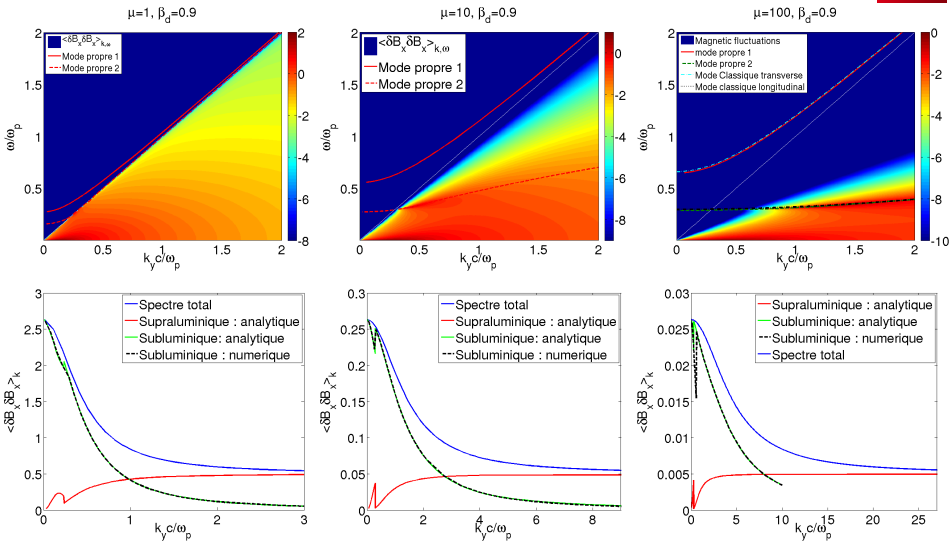
$$\frac{1}{\mu_0} \langle B_x B_x^* \rangle_{\mathbf{k}} = \frac{T}{2} \frac{k^2 c^2 + \omega_p^2 \mu}{k^2 c^2 + \frac{\omega_p^2 \mu}{\gamma_d^2}}.$$

- La contribution supraluminique correspond aux pôles supraluminiques :

$$\frac{1}{\mu_0} \langle B_x B_x^* \rangle_{\mathbf{k}}^{|v_\phi| > 1} = \sum_{\omega = \omega_{1,2\pm}^{|v_\phi| > 1}} \frac{k^2 T}{2\omega} \frac{\epsilon_{yy}}{\frac{\partial D}{\partial \omega}},$$

Fluctuations magnétiques pour $\alpha = \pi/2$

Spectre en (\mathbf{k}, ω) , $e^- e^+$, normalisé par $m_e^2 c^3 / e^2 \omega_e^2$



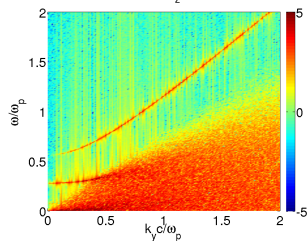
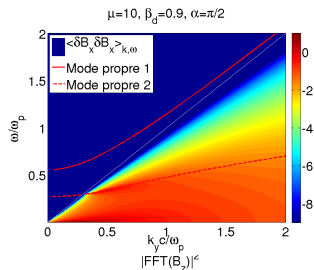
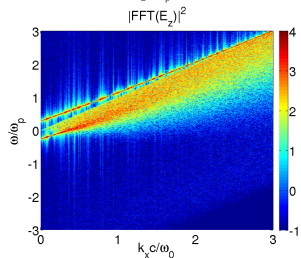
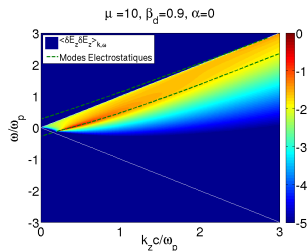


Comparaison PIC (CALDER)

- Simulations 1DX 3DV
- ordre d'interpolation : 1 ou 3
- $L_x = 560$ ou $1120 c/\omega_p$
- $\Delta_x = 0.1c/\omega_p$
- $\Delta_t = 0.95\Delta_x$
- $N_{macro} = 2000$ particules/maille/espèce.

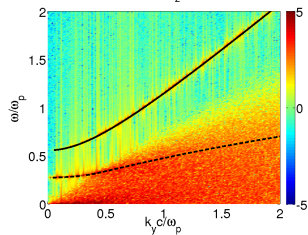
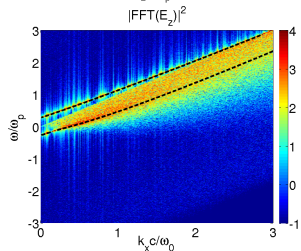
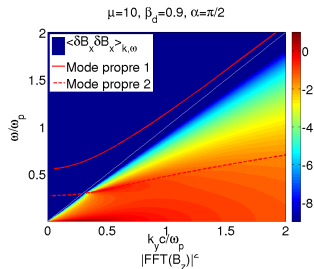
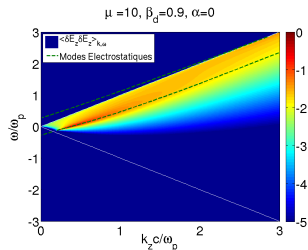
Comparaison aux simulations PIC (CALDER)

Spectres (\mathbf{k} , ω)



Comparaison PIC (CALDER)

Spectres (\mathbf{k}, ω)

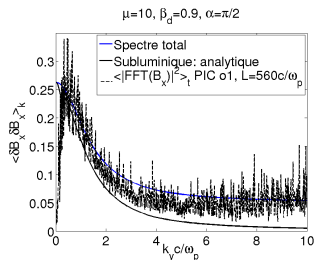
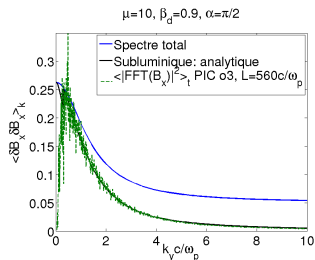


Comparaison aux simulations PIC PIC (CALDER)

Spectres intégrés



- $\langle |FFT(B)|^2 \rangle_t$ désigne la moyenne temporelle (sur environ $900\omega_p^{-1}$) du carré de la FFT spatiale (normalisé par $\frac{n}{N_{macro}} \frac{L_x}{\Delta_x}$).
- Ordre d'interpolation : 3
- $L_x = 560c/\omega_p$
- Ordre d'interpolation : 1
- $L_x = 560c/\omega_p$



⇒ Influence néfaste du filtrage spatial (ordre d'interpolation) sur le spectre des fluctuations.

- Résolution exacte des modes propres longitudinaux et transversaux pour $\alpha = 0$ et $\alpha = \pi/2$
- Spectre des fluctuations longitudinales et transversales pour $\alpha = 0$ et $\alpha = \pi/2$

→ Et pour $0 < \alpha < \pi/2$?

Code PIC

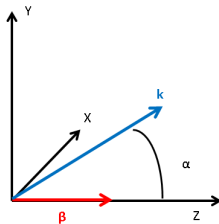
- Les modes propres théoriques sont bien reproduits par des simulations PIC 1DX 3DV.
- Influence de l'ordre d'interpolation sur le spectre des fluctuations.

Pour une instabilité du type Weibel $\omega(k) = +i\Gamma(k)$

$$|B(k, t)|^2 = \Gamma(k) \langle B_x B_x^* \rangle_{\mathbf{k}, \omega=0} e^{2\Gamma(k)t} ?$$

Merci pour votre attention

Fluctuations transverses pour $\alpha = 0$



- ϵ_{xx} devient :

$$\epsilon_{xx} = 1 - \sum_s \frac{2\pi F_s \mu_s \omega_{ps}^2}{\omega^2} (\beta_\phi - \beta_{ds}) \int_{-1}^1 \frac{f_{A_s}}{\beta_\phi - \beta} d\beta. \quad (1)$$

- Dans le cas d'électrons-positrons :

$$\langle E_x E_x^* \rangle_{\mathbf{k}, \omega} = \frac{-T}{2\pi \epsilon_0 (\omega - kv_d)} \text{Im} \left(\frac{1}{\epsilon_{xx} - \frac{k^2 c^2}{\omega^2}} \right). \quad (2)$$

- Dans le cadre général, la relation de dispersion $\epsilon_{xx} - \frac{k^2 c^2}{\omega^2} = 0$ peut se mettre sous la forme :

$$k^2 c^2 = \frac{1}{\beta_\phi^2 - 1} \sum_s 2\pi F_s \mu_s \omega_{ps}^2 (\beta_\phi - \beta_{ds}) \int_{-1}^1 \frac{f_{A_s}}{\beta_\phi - \beta} d\beta. \quad (3)$$

- Les spectres en \mathbf{k} correspondent aux pôles balistiques :

$$\epsilon_0 \langle E_x E_x^* \rangle_{\mathbf{k}} = \frac{1}{\mu_0} \langle B_y B_y^* \rangle_{\mathbf{k}} = \gamma_d^2 \frac{T}{2}. \quad (4)$$

Fluctuations transverses pour $\alpha = 0$

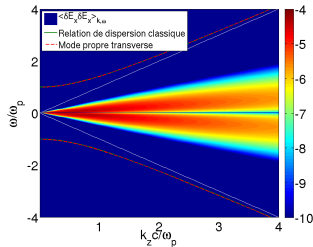
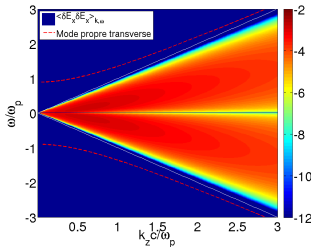
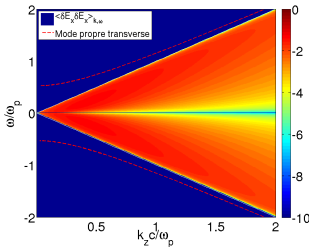
Spectre en (\mathbf{k}, ω) , $e^- e^+$, normalisé par $m_e^2 c^5 / e^2 \omega_e^2$



$\mu = 1, \beta_d = 0$

$\mu = 10, \beta_d = 0$

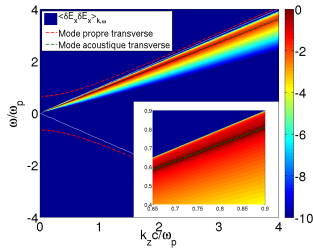
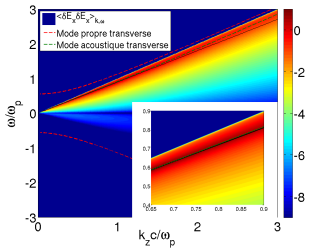
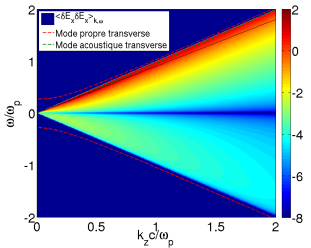
$\mu = 100, \beta_d = 0$



$\mu = 1, \beta_d = 0.9$

$\mu = 10, \beta_d = 0.9$

$\mu = 100, \beta_d = 0.9$



Fluctuations transverses pour $\alpha = 0$

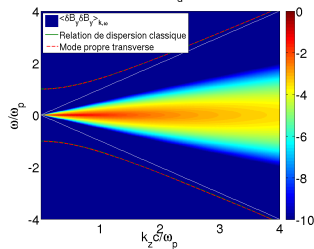
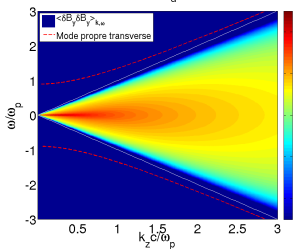
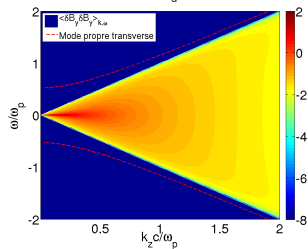
Spectre en (\mathbf{k}, ω) , $e^- e^+$, normalisé par $m_e^2 c^3 / e^2 \omega_e^2$



$\mu = 1, \beta_d = 0$

$\mu = 10, \beta_d = 0$

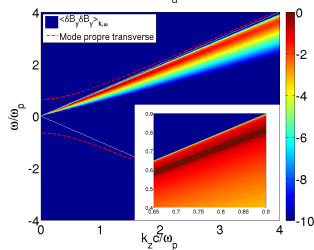
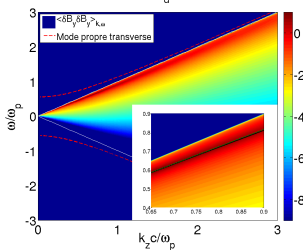
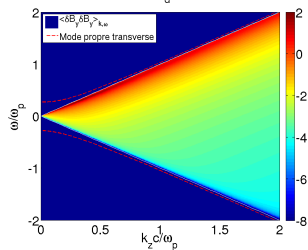
$\mu = 100, \beta_d = 0$



$\mu = 1, \beta_d = 0.9$

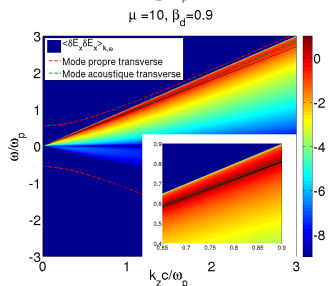
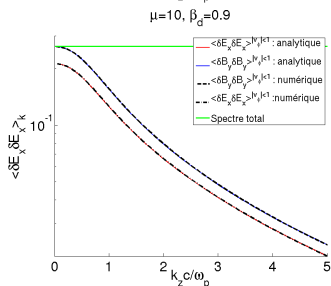
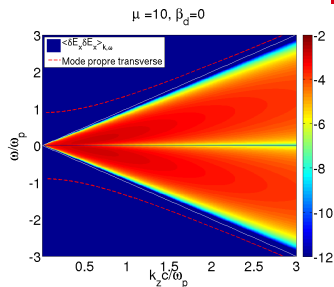
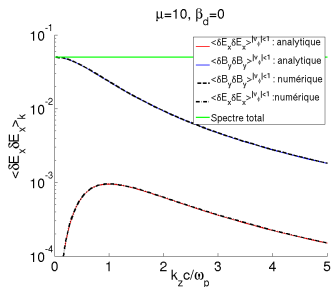
$\mu = 10, \beta_d = 0.9$

$\mu = 100, \beta_d = 0.9$



Fluctuations transverses pour $\alpha = 0$

Intégration sur ω , $e^- e^+$, normalisé par $m_e^2 c^3 / e^2 \omega_e$



$$\epsilon_{xx} = 1 - \sum_s \frac{2\pi F_s \mu_s \omega_{ps}^2}{\omega^2} (v_\phi - \beta_{ds} \cos(\alpha)) D_s \quad (5)$$

$$\epsilon_{yy} = 1 - \sum_s \frac{2\pi F_s \mu_s \omega_{ps}^2}{\omega^2} (v_\phi - \beta_{ds} \cos(\alpha)) \left[\cos^2(\alpha) A_s + 2 \cos(\alpha) \sin(\alpha) C_s + \sin^2(\alpha) B_s \right] \quad (6)$$

$$\begin{aligned} \epsilon_{zz} = 1 - \sum_s \frac{2\pi F_s \mu_s \omega_{ps}^2}{\omega^2} (v_\phi - \beta_{ds} \cos(\alpha)) \left[\sin^2(\alpha) A_s - 2 \cos(\alpha) \sin(\alpha) C_s + \cos^2(\alpha) B_s \right] \\ + \sum_s \frac{\mu_s \omega_{ps}^2}{\omega^2} \beta_{ds}^2 \end{aligned} \quad (7)$$

$$\epsilon_{yz} = - \sum_s \frac{2\pi F_s \mu_s \omega_{ps}^2}{\omega^2} (v_\phi - \beta_{ds} \cos(\alpha)) \left[(\cos^2(\alpha) - \sin^2(\alpha)) C_s + \cos(\alpha) \sin(\alpha) (B_s - A_s) \right] \quad (8)$$

Avec $X_s \equiv A_s, B_s, C_s, D_s$:

$$X_s(v_\phi) = \int_{-1}^1 \frac{fX(\gamma, \rho_s, \nu_s)}{v_\phi - v} dv$$

$$\rho_s = \mu_s \gamma (1 - \beta_{ds} \cos(\alpha) v)$$

$$\nu_s = \mu_s \beta_{ds} \sin(\alpha)$$

$$[ABCD]_s(v_\phi) = \int_{-1}^1 \frac{f_{[ABCD]}(\gamma, \rho_s, \nu_s)}{v_\phi - v} dv \quad (9)$$

$$\rho_s = \mu_s \gamma (1 - \beta_{ds} \cos(\alpha) v)$$

$$\nu_s = \mu_s \beta_{ds} \sin(\alpha)$$

Nous avons :

$$\begin{aligned} f_A &= \frac{\gamma e^{-h_s}}{h_s^5} \left[[h_s + 1] (\rho_s^2 + 2\nu_s^2) + \nu_s^2 h_s^2 \right] \\ f_B &= \frac{\beta^2 \gamma^3 e^{-h_s}}{h_s^5} \left[[h_s + 1] (2\rho_s^2 + \nu_s^2) + \rho_s^2 h_s^2 \right] \\ f_C &= -\nu_s \frac{\beta \gamma^2 \rho_s e^{-h_s}}{h_s^5} \left[3(h_s + 1) + h_s^2 \right] \\ f_D &= \frac{\gamma e^{-h_s}}{h_s^3} [h_s + 1], \end{aligned} \quad (10)$$

avec $h_s = (\rho_s^2 - \nu_s^2)^{1/2}$.

Résultats analytiques

Branches de coupures



$$X = - \int_{-1}^1 \frac{f_X(v)}{v - v_\phi} dv = - \int_{-1}^1 \frac{f_X(v) - f_X(v_\phi)}{v - v_\phi} dv - f_X(v_\phi) \ln\left(\frac{v_\phi - 1}{v_\phi + 1}\right) \quad (11)$$

⇒ Cette dernière formulation met en évidence les branches de coupures associées au terme en logarithme.

On définit le domaine de définition du complexe $\zeta = \frac{v_\phi - 1}{v_\phi + 1}$:

- $-\pi/2 < \theta_\zeta < 3\pi/2$

Pour $h(v) = \mu|\beta_d|\gamma\sqrt{(v - \alpha_+)(v - \alpha_-)}$:

- $-\pi/2 < \theta_{v-\alpha_-} < 3\pi/2$

- $-3\pi/2 < \theta_{v-\alpha_+} < \pi/2$

Nous obtenons ainsi les branches de coupures :

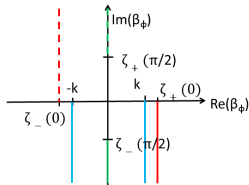


FIGURE:

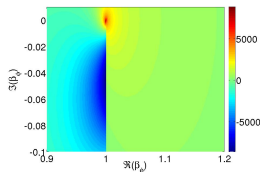


FIGURE: Map in the complex v_ϕ plane of the real part of B for $\mu = 1$, $\beta_d = 0.9$ and $\alpha = 0$

- La formule générale est :

$$\langle \mathbf{j}\mathbf{j}^\dagger \rangle_{\mathbf{k},\omega}{}_{\alpha\beta} = 2\pi \frac{n_s q_s^2}{k} \int_{\mathbb{R}} v_\alpha v_\beta f_s^{(0)}(\mathbf{p}) \delta(v_\phi - v_z) d\mathbf{p} \quad (12)$$

- Les résultats obtenus sont (Φ est la fonction de Heaviside) :

$$\langle \mathbf{j}\mathbf{j}^\dagger_{xx} \rangle_{\mathbf{k},\omega} = \Phi(1 - |v_\phi|) \epsilon_0 \sum_s \frac{(2\pi)^2 F_s m_s \omega_{ps}^2}{k} [f_D]_{\beta=\beta_\phi} \quad (13)$$

$$\langle \mathbf{j}\mathbf{j}^\dagger_{yy} \rangle_{\mathbf{k},\omega} = \Phi(1 - |v_\phi|) \epsilon_0 \sum_s \frac{(2\pi)^2 F_s m_s \omega_{ps}^2}{k} [\cos^2(\alpha) f_A + \sin^2(\alpha) f_B + 2 \cos(\alpha) \sin(\alpha) f_C]_{\beta=\beta_\phi} \quad (14)$$

$$\langle \mathbf{j}\mathbf{j}^\dagger_{zz} \rangle_{\mathbf{k},\omega} = \Phi(1 - |v_\phi|) \epsilon_0 \sum_s \frac{(2\pi)^2 m_s F_s \omega_{ps}^2}{k} [\sin^2(\alpha) f_A + \cos^2(\alpha) f_B - 2 \cos(\alpha) \sin(\alpha) f_C]_{\beta=\beta_\phi} \quad (15)$$

$$\langle \mathbf{j}\mathbf{j}^\dagger_{yz} \rangle_{\mathbf{k},\omega} = \Phi(1 - |v_\phi|) \epsilon_0 \sum_s \frac{(2\pi)^2 m_s F_s \omega_{ps}^2}{k} [(\cos^2(\alpha) - \sin^2(\alpha)) f_C + \cos(\alpha) \sin(\alpha) (f_B - f_A)]_{\beta=\beta_\phi} \quad (16)$$

- Les fluctuations thermiques de E sont données par :

$$\langle \mathbf{E} \mathbf{E}^\dagger \rangle_{\mathbf{k}, \omega} = \mathbf{Z}_{\mathbf{k}, \omega} \cdot \langle \mathbf{j} \mathbf{j}^\dagger \rangle_{\mathbf{k}, \omega} \cdot \mathbf{Z}_{\mathbf{k}, \omega}^\dagger \quad (17)$$

avec

$$\mathbf{Z}_{xx} = -i \frac{\omega}{\epsilon_0} \frac{1}{\omega^2 \epsilon_{xx} - k^2 c^2} \quad (18)$$

$$\mathbf{Z}_{yy} = -i \frac{\omega}{\epsilon_0} \frac{\omega^2 \epsilon_{zz} - k_y^2 c^2}{(\omega^2 \epsilon_{zz} - k_y^2 c^2)(\omega^2 \epsilon_{yy} - k_z^2 c^2) - (\omega^2 \epsilon_{zy} + k_y k_z c^2)^2} \quad (19)$$

$$\mathbf{Z}_{yz} = i \frac{\omega}{\epsilon_0} \frac{\omega^2 \epsilon_{zy} + k_y k_z c^2}{(\omega^2 \epsilon_{zz} - k_y^2 c^2)(\omega^2 \epsilon_{yy} - k_z^2 c^2) - (\omega^2 \epsilon_{zy} + k_y k_z c^2)^2} \quad (20)$$

$$\mathbf{Z}_{zz} = -i \frac{\omega}{\epsilon_0} \frac{\omega^2 \epsilon_{yy} - k_z^2 c^2}{(\omega^2 \epsilon_{zz} - k_y^2 c^2)(\omega^2 \epsilon_{yy} - k_z^2 c^2) - (\omega^2 \epsilon_{zy} + k_y k_z c^2)^2} \quad (21)$$

- Les relations de dispersion sont données par :

$$\omega^2 \epsilon_{xx} - k^2 = 0 \quad (22)$$

$$(\omega^2 \epsilon_{zz} - k_y^2 c^2)(\omega^2 \epsilon_{yy} - k_z^2 c^2) - (\omega^2 \epsilon_{zy} + k_y k_z c^2)^2 = 0 \quad (23)$$

Le tenseur ϵ devient :

$$\epsilon_{xx} = 1 - \sum_s \frac{2\pi F_s \mu_s \omega_{ps}^2}{\omega k} D_s \quad (24)$$

$$\epsilon_{yy} = 1 - \sum_s \frac{2\pi F_s \mu_s \omega_{ps}^2}{\omega k} B_s \quad (25)$$

$$\epsilon_{zz} = 1 - \sum_s \frac{2\pi F_s \mu_s \omega_{ps}^2}{\omega k} A_s + \sum_s \frac{\mu_s \omega_{ps}^2}{\omega^2} \beta_{ds}^2 \quad (26)$$

$$\epsilon_{yz} = \sum_s \frac{2\pi F_s \mu_s \omega_{ps}^2}{\omega k} C_s \quad (27)$$

Les termes sources sont :

$$\langle j_x j_x^* \rangle_{\mathbf{k}, \omega} = \frac{T \omega \text{Im}(\epsilon_{xx})}{\epsilon_0} \quad (28)$$

$$\langle j_y j_y^* \rangle_{\mathbf{k}, \omega} = \frac{T \omega \text{Im}(\epsilon_{yy})}{\epsilon_0} \quad (29)$$

$$\langle j_z j_z^* \rangle_{\mathbf{k}, \omega} = \frac{T \omega \text{Im}(\epsilon_{zz})}{\epsilon_0} = \frac{\text{Im}(\omega^2 \epsilon_{zz} - k^2 c^2)}{\epsilon_0 \mu \omega} \quad (30)$$

$$\langle j_y j_z^* \rangle_{\mathbf{k}, \omega} = - \frac{T \omega \text{Im}(\epsilon_{yz})}{\epsilon_0} \quad (31)$$

$$f_A = \frac{\gamma e^{-\mu_s(\gamma^2 - \beta_{ds}^2)}^{\frac{1}{2}}}{\mu_s^3(\gamma^2 - \beta_{ds}^2)^{\frac{5}{2}}} \left[[\mu_s(\gamma^2 - \beta_{ds}^2)^{\frac{1}{2}} + 1](\gamma^2 + 2\beta_{ds}^2) + \mu_s^2 \beta_{ds}^2 (\gamma^2 - \beta_{ds}^2) \right] \quad (32)$$

$$f_B = \frac{v^2 \gamma^3 e^{-\mu_s(\gamma^2 - \beta_{ds}^2)}^{\frac{1}{2}}}{\mu_s^3(\gamma^2 - \beta_{ds}^2)^{\frac{5}{2}}} \left[[\mu_s(\gamma^2 - \beta_{ds}^2)^{\frac{1}{2}} + 1](2\gamma^2 + \beta_{ds}^2) + \mu^2 \gamma^2 (\gamma^2 - \beta_{ds}^2) \right] \quad (33)$$

$$f_C = -\beta_{ds} \frac{v \gamma^3 e^{-\mu_s(\gamma^2 - \beta_{ds}^2)}^{\frac{1}{2}}}{\mu_s^3(\gamma_d^2 - \beta_d^2)^{\frac{5}{2}}} \left[3(\mu_s(\gamma^2 - \beta_{ds}^2)^{\frac{1}{2}} + 1) + \mu^2(\gamma^2 - \beta_{ds}^2) \right] \quad (34)$$

$$f_D = \gamma \frac{e^{-\mu_s(\gamma^2 - \beta_{ds}^2)}^{\frac{1}{2}}}{\mu_s^3(\gamma^2 - \beta_{ds}^2)^{\frac{3}{2}}} [\mu_s(\gamma^2 - \beta_{ds}^2)^{\frac{1}{2}} + 1] \quad (35)$$

Les relations de dispersion sont :

$$\omega^2 \epsilon_{xx} - k^2 = 0 \quad (36)$$

$$(\omega^2 \epsilon_{zz} - k_y^2) \epsilon_{yy} - \omega^2 \epsilon_{yz}^2 = 0 \quad (37)$$